

# A foglaltsági háló és más térképépítési stratégiák

Szabó Richárd \*

## Kivonat

A cikk áttekinti a robotikai navigációval kapcsolatos problémákat és bemutat néhány lehetséges térképépítési módszert, fókuszálva a kilencvenes években erősen elterjedt valószínűségi eljárásokra, így a Kálmán-szűrőre, a várhatóérték-maximalizálásra, és a foglaltsági hálóra.

Ezen belül részletesen tárgyalja a foglaltsági háló létrehozását és használatát a Webots nevű programozási környezetben. A szimuláció módosított Khepera típusú robotokkal működik, melyek szonar érzékelőiket felhasználva járják be a különféle kísérleti környezeteket.

**Kulcsszavak:** mobil robotok, szimuláció, metrikus/topologikus navigáció, kognitív térkép, foglaltsági háló.

## 1. Bevezetés

Tudományos előrejelzések alapján a robotika hasonlóan fontos részét fogja képezni hétköznapiainknak, mint ahogy az autó szerepe nőtt meg a 20. században. A fejlődést a tudósok és a mérnökök által létrehozott egyre fejlettebb robotok és robotirányító eljárások biztosítják.

A kutatások elengedhetetlen kellékei a robotszimulációs szoftverek. Ezek az eszközök lehetővé teszik a robot felépítésének tervezését és a robotot irányító algoritmus implementálását. Időigényes tanuló eljárások futtatása jóval egyszerűbb egy szimulátorban, míg a költséges robotot „csak” a finomhangolás elvégzésére kell használni ([1]).

Jelenleg a robotok terjedésének egyik fő akadálya a megbízható, gyors, tömegtermelésre alkalmas navigációs eljárás hiánya.

A navigációnak azért van kiemelt szerepe a robotok létrehozásában, mert ennek segítségével képes a mobil, intelligens jármű meghatározni saját és a számára fontos objektumok helyét a környezetében. Navigáció nélkül nem képzelhetőek el az olyan berendezések, mint az önjáró háztartási robotok, űrszemek vagy bolygókutató szondák.

## 2. A navigáció problémái

A navigáció során a robot saját és a számára fontos objektumok pozícióját igyekszik meghatározni. Ennek érdekében leggyakrabban egy belső térképet kezel. A feladat tehát kettős: egyszerre kell pozíciókat meghatározni és elhelyezni azokat a folyamatosan

---

\*Eötvös Loránd Tudományegyetem, Általános Számítástudományi Tanszék, 1117 Budapest, Pázmány P. s. 1/D, and Tudománytörténeti és Tudományfilozófia Tanszék 1117 Budapest, Pázmány P. s. 1. e-mail: rics@inf.elte.hu

1. táblázat. Az odometria hibái

Rendszeres	Rendszertelen
<ul style="list-style-type: none"> <li>– eltérő kerékméreték</li> <li>– szabálytalan kerék</li> <li>– szenzor mintavétele</li> <li>– szenzor felbontása</li> </ul>	<ul style="list-style-type: none"> <li>– egyenetlen padló</li> <li>– kerekek csúszása</li> <li>– találkozás tárgyakkal</li> </ul>

alakuló térképen. Az irodalom a problémát *simultaneous localization and mapping* néven említi ([2]). A feladat tyúk-tojás jellege mellett egyéb problémák is jelentkeznek.

A robot mozgási utasításait és a szenzorok méréseit kísérő zaj rontja a navigáció minőségét. Ha a zaj független a robot helyétől és a cselekvés idejétől, akkor mind több begyűjtött adat előbb-utóbb konvergenciához vezet. Azonban a zaj legritkább esetben ilyen tulajdonságú, például a mérési hibák akkumulálódnak.

Egy másik probléma a leképezendő környezet sokdimenziós jellegéből adódik: egy szoba részletes, csupán kétdimenziós térképe is több ezer elemet tartalmazhat, ami a számítási igényt növeli.

Az adat-összerendelés problémája – mely talán az egyik legkomolyabb – rámutat arra a nehézségre, hogy miként lehet a térkép elemeit különböző időben és/vagy különböző nézőpontban összerendelni. Például amikor egy robot egy körfolyosó bejárása után visszaérkezik kiindulópontjára, miként veszi észre, hogy már járt ott.

A negyedik navigációs probléma a környezet változásában keresendő. A kísérleti terepek bejárása során létrehozott statikus térképek a valóságban nem állják meg a helyüket, amikor a robot körül emberek közlekednek, ajtók nyílnak és csukódnak, vagy amikor a robot átrendezett lakásba kerül.

A fentiekén túlmenően egy jól működő navigációs eljárásnak valós időben kell kiadnia a mozgást szabályzó utasításokat, megbízhatónak kell lennie. A végső cél, hogy egy ilyen eljárás általános célú legyen, azaz tetszőleges környezetben működjön.

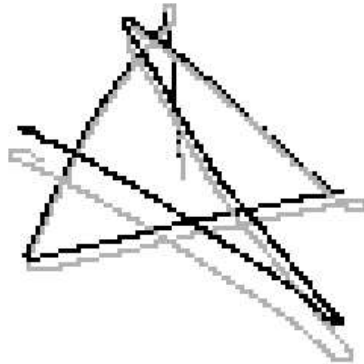
## 2.1. Lokalizáció

A navigáció alapvető nehézsége a mozgás és érzékelés során felmerülő zajból származik. Enélkül a robot — folyamatosan számontartva irányának és elmozdulásának változását — pontosan tudná saját és a tárgyak helyét a térképen. Ez az odometriának nevezett módszer egyszerű koordinátageometriával megoldhatná a legfőbb problémákat.

A folyamatosan jelen lévő rendszeres és rendszertelen zaj az idő előrehaladtával az odometriából nyert információt teljesen használhatatlanná torzítja ([3], [4]). A 1. táblázat a zajok különféle forrásait mutatja be.

A rendszeres hibák a robot megismerésével kompenzálhatóak, de a rendszertelenek ellen nincs védelem. Így hosszú távon, a pozícióbecslés hibajavítása nélkül divergál a robot, mint az a 1. ábrán is látható, ahol a kezdőpontban még együtt lévő valódi (fekete

szín) és számított (sziürke szín) pozíció néhány száz lépés megtétele után viszonylag jelentős eltérést mutat.



1. ábra. Valós és számított útvonal eltérése

### 3. Navigációs módszerek osztályozásai

A navigáció összetett problémájára számtalan – részleges – megoldási módszer létezik. Ezeket az elképzeléseket többféleképpen lehet csoportosítani.

#### 3.1. Világ- és robotközpontú navigáció

A navigáció egyik csoportosítási módja, hogy a térkép kinek a nézőpontjából készül. A világgözpontú térkép egy globális koordináta-rendszerben ábrázolja a tárgyakat, míg a robotközpontú a felfedező robot szempontjából. Az előbbi térképet nehezebb előállítani, viszont a terep bejárása közben jobban használható, az utóbbi térkép könnyebben előáll, de a hasonló helyek megkülönböztetése nehezebb.

#### 3.2. Metrikus és topologikus navigáció

A metrikus, geometrikus vagy háló-alapú navigáció a tárgyak számokkal mérhető térbeli tulajdonságaival foglalkozik, így távolságokkal, bezárt szögekkel és koordinátákkal. A generálódó térkép leginkább egy madártávlati képre hasonlít, a környezet egy méretarányos leképezése.

A topológiai navigáció a tárgyak egymáshoz való viszonyát tartja szem előtt. A fő kérdés itt az egyik pontból a másikba eljutás lehetősége. A topológiai típusú térképezés során a környezetről egy gráf készül, melynek csúcspontjai jól felismerhető tereptárgyak, élei pedig a tárgyak közötti közvetlen összeköttetést jelzik ([5], [6]).

A valóságban a metrikus és topologiai navigáció nem különül el élesen, a megoldások általában egy keveréket alkalmaznak. A 2. táblázat a két módszer előnyeit és hátrányait összegzi.

2. táblázat. Metrikus és topologikus navigáció

Metrikus	Topologikus
+ könnyen kezelhető	– nehezen kezelhető
+ zajra nem érzékeny	– zajra érzékeny
– nem alkalmazkodó	+ alkalmazkodó
– memóriaiigényes	+ kevés memória elég
– a navigáció nehézkes	+ a navigáció könnyű
– pontos pozíció kell	+ becsült pozíció elég

### 3.3. Valószínűségi térképezés

A kilencvenes években komolyan elterjedő módszerek általában valószínűség-számítási alapokon nyugszanak. Ennek az lehet az egyik oka, hogy a zaj által keltett bizonytalanságokat egy monoton – azaz javításra nem alkalmas – térkép esetén nehéz kezelni. Ezen módszerek közös jellemzője, hogy mind a Bayes-tételen alapulnak ([7]), és maximum-likelihood térképet hoznak létre, azaz az adatok alapján legvalószínűbb térképet készítik el.

#### 3.3.1. Kálmán-szűrő

A navigáción kívül is jól használható Kálmán-szűrő egy lineáris differenciaegyenlet-rendszer hatékony megoldási módja. A szűrő az időt diszkrét pillanatokra bontva kezeli, és rekurzívan próbálja meghatározni a zajjal rendelkező megoldást ([8]). A kitűzött feladat egyik felét az alábbi egyenlet írja le.

$$x_k = Ax_{k-1} + Bu_{k-1} + w_{k-1}$$

Itt  $x_k$  a közelítendő állapotleíró vektor a  $k$  időpillanatban, navigáció esetén a robot és a környező tárgyak pozíciója.  $x_k$  elsősorban a korábbi állapottól ( $x_{k-1}$ ) függ, másodsorban a robotot irányító parancsoktól ( $u_{k-1}$ ), valamint egy normális eloszlású zajtól ( $w_{k-1}$ ).

A robot a környezet állapotát nem érzékeli közvetlenül, csupán szenzorain keresztül. Ezt a második egyenlet modellezi.

$$s_k = Hx_k + v_k$$

Itt  $s_k$  a robot által érzékelt, az adott állapotnak megfelelő környezet, melyet normális eloszlású zaj ( $v_k$ ) terhel.

A Kálmán-szűrő a fent vázolt differenciaegyenlet-rendszert oldja meg az  $A, B, H$  mátrixok és a két normális eloszlású zaj paramétereinek ismeretében.

A Kálmán-szűrő előnyös tulajdonsága, hogy iteratív, azaz az előző számításokra alapulva lehet a következő becslést kalkulálni. Hátránya, hogy az adat-összerendelést nem tudja megoldani, mivel két, nem megkülönböztethető tereptárgy térképbe illesztése ütközik a normális eloszlású zaj feltétellel.

### 3.3.2. Várható érték maximalizálása

Ez a módszer szintén nem csak a navigáció témakörében ismert, hanem általános célú eszköz mintavételek alapján a rendszer ismeretlen paramétereinek meghatározására ([9], [10]). A várható érték maximalizálása két lépés nyugalmi állapotig tartó alternatív ismételéséből áll. Először – a navigációnál maradván – az adott térkép és a begyűjtött adatok alapján meg kell állapítani a robot pozíciójának várható értékét.

$$Q(m|m_k) = E_{m_k}[p(x, s|m_k)|s]$$

A másik lépésben a robot pozíciójából és a begyűjtött adatokból kell meghatározni a lehető legvalószínűbb térképet, meg kell keresni a térképek terében a maximális valószínűségűt.

$$m_{k+1} = \operatorname{argmax}_m Q(m|m_k)$$

A várható érték maximalizálása hatásosabb megoldását nyújtja az adat-összerendelési problémának, mint a Kálmán-szűrő, valamint tetszőleges zajeloszlás mellett jól működik. A módszer komoly hátránya – ami miatt általában más eljárásokkal ötvözik –, hogy nem működik iteratív módon, vagyis az adatok alapján mindig előlről kell kezdeni a térkép építését. Ebből következően valódi robotban nem is alkalmazható nagy számításigénye miatt.

### 3.3.3. Foglaltsági háló

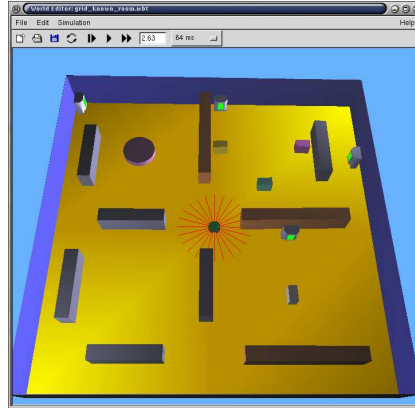
A foglaltsági háló a sík vagy a tér cellákra bontott parkettázása. Minden cella egy valószínűségi értéket tartalmaz, mely a tér adott részének foglaltságát reprezentálja. A módszer előnye a többivel szemben a viszonylag egyszerű implementálhatóság, és az iteratív térképépítés lehetősége. A hátrányok között érdemes megemlíteni, hogy a rendszerben fellépő zajnak időben függetlennek kell lennie, illetve, hogy a navigálás során ez a struktúra nehezen alkalmazható.

## 3.4. Egyéb jellemzések

A robotikai navigáció területe annyira szerteágazó, hogy még sokféle kategorizálását lehetne adni. Néhány érdekesebb csoportosítás: a robot szabadságfoka szerint (holonomikus, nem holonomikus), a navigációs elemek bonyolultsági szintjei szerint (alapiselkedések, elemi, taktikai, stratégiai navigáció - [11]), a viselkedés biológiai megalapozottsága szerint (keresés, iránytartás, útvonalösszegzés, helyfelismerés - [12]).

## 4. Foglaltsági háló Webotsban

Kutatásunk célja egy foglaltsági hálót alkalmazó térképezés megvalósítása volt a Webots szimulációs környezetben ([13]). A robot a terep bejárása során egy felülnézeti valószínűségi térképet épít a néhány négyzetméteres környezetről ([14]).



2. ábra. A Webots szimulátor

A választott tenyérszí Khepera robot infravörös érzékelőt 24 darab, 15 cm hatótávú szonarra cseréltük. Ezek a módosítások megkönnyítik a pontos térkép gyors létrehozását. A távolságszenzorok használata vizuális szenzorok helyett gyakran célszerű, mivel az érzetek dimenziószáma miatt a képfeldolgozás jóval összetettebb feladat, és valódi robotnál a kamerák felszerelése lényegesen drágább is.

A térkép építésének lényeges fázisai S. Thrun munkájához hasonlóan a következők ([15]):

- szenzorinterpretálás
- időbeli integrálás
- pozícióbecslés
- globális hálóépítés
- felfedezés

### 4.1. Szenzorinterpretálás

A szenzorinterpretálás a foglaltsági háló készítésének első fázisa.

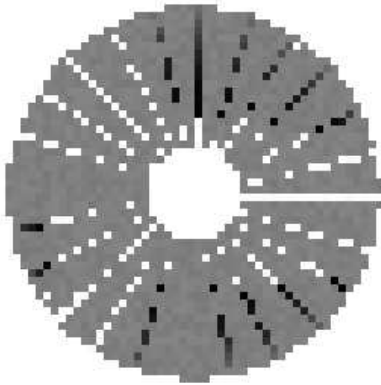
A 24 darab körkörös elhelyezett szonar kellően sűrű információforrás ahhoz, hogy a robot környezetében a foglaltságot számítani lehessen. Ez a számítás skaláértékek áttranszformálása egy kétdimenziós valószínűségmátrixá, vagyis

$$p(occ_{x,y}|s),$$

értékeket kell meghatározni, ahol  $s$  egy mérés az  $(x, y)$  cellán. Bár erre gyakran mesterséges neurális hálót alkalmaznak, az egyszeri kézi hangolás is elfogadott.

Minden szenzor által visszaadott érték arányos a legközelebbi tárgy távolságával az adott irányban. Ezért a robothoz a szenzorértéknél „közelebb” logikus alacsony valószínűséget ( $\varepsilon$ ), a szenzorérték helyén magas valószínűséget ( $1 - \varepsilon$ ) rendelni; majd ezután a bizonytalanságból adódóan az érték lecsökken a teljes információhiányig ( $1/2$ ).

Mivel a cél bejárható útvonalak megtalálása, ezért hasznos a szonar sugárát mesterségesen kiszélesíteni a robot szélességére. Az approximációból adódó pontatlanságot bőven kárpótol a pontosabb lokális térkép létrehozásának lehetősége, amint az a 3. és a 4. ábrát összehasonlítva látható.



3. ábra. Egyszerű lokális térkép



4. ábra. Kiszélesített lokális térkép

## 4.2. Időbeli integrálás

A teljes foglaltsági háló a környezet bejárásával keletkezik. Ez annyit jelent, hogy sok mérést végez a robot egy adott cellára vonatkozóan is. Mivel a mérés körülményei (a robot helye és iránya, zaj, stb.) változnak, ezért különböző mérési értékeket kell egy helyre integrálni. Tehát az egyes mérésekből származó feltételes valószínűségekből ( $p(occ_{x,y}|s^{(t)})$ ) kell kiszámítani az összes mérésből adódó feltételes valószínűséget ( $p(occ_{x,y}|s^{(1)}, s^{(2)}, \dots, s^{(T)})$ ). A számításhoz a Bayes-tételt ([7]) és a mérések egymástól való függetlenségének feltételét kell felhasználni. Vagyis  $p(s^{(t)}|occ_{x,y})$  független  $p(s^{(t')}|occ_{x,y})$ -től, ha  $t \neq t'$ .

A fentiek alapján kijelenthető, hogy

$$\Pi(x, y, T) = p(occ_{x,y}|s^{(1)}, s^{(2)}, \dots, s^{(T)}) =$$

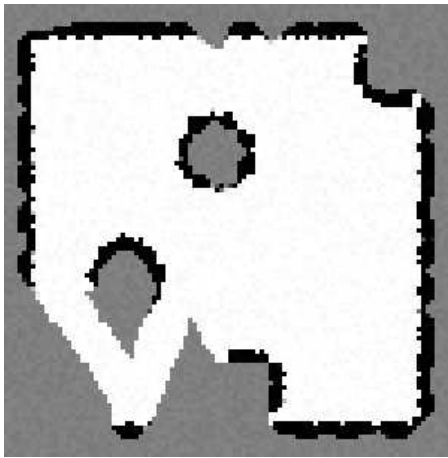
$$1 - \left( 1 + \frac{p(\text{occ}_{x,y}|s^{(1)})}{1 - p(\text{occ}_{x,y}|s^{(1)})} \prod_{\tau=2}^T \frac{p(\text{occ}_{x,y}|s^{(\tau)})}{1 - p(\text{occ}_{x,y}|s^{(\tau)})} \frac{1 - p(\text{occ}_{x,y})}{p(\text{occ}_{x,y})} \right)^{-1} \quad (1)$$

ahol  $p(\text{occ}_{x,y})$  a kezdeti valószínűség, általában  $1/2$ -re állítva.

A (1) egyenlet fő következménye a mérések egyesítésének lehetősége, egymás utáni szorzások alkalmazásával.

### 4.3. Globális hálópítés

Miközben a robot körbejár környezetében, a lokális információk a globális térképre kerülnek. Ez egyrésztől polárkoordináták Descartes-koordinátákra transzformálását jelenti, másrésztől a szenzorok által mért értékeket is egyesíteni kell. Az idő előrehaladtával a robot egyre nagyobb területet fedez fel, amint az nyílt terepen (5. ábra) és a labirintusban (6. ábra) is látható.



5. ábra. Nyílt terep foglaltsági hálója



6. ábra. Labirintus foglaltsági hálója

### 4.4. Felfedezés

Bár a robot az eddigi modulokkal felkészült a térképépítésre, szükség van valamilyen hajtóerőre, aminek hatására bejárja a teljes terepet, egyébként csupán véletlenszerűen mozogná.

Ennek érdekében egyfajta értékiterációt alkalmazó kereső eljárást valósítottunk meg ([16]). A választott eljárás minden egyes cellára kiszámítja a legrövidebb út költségét egy még nem bejárt cellához. A kalkulált értékek egy újonnan bevezetett költségmátrixba kerülnek.



1. Az eljárás első lépése az inicializálás. A nem bejárt cellák értéke logikusan 0, míg a bejártaké  $\infty$ .

$$V_{x,y} \leftarrow \begin{cases} 0 & \text{ha } (x, y) \text{ bejáratlan} \\ \infty & \text{ha } (x, y) \text{ bejárt} \end{cases}$$

2. A főciklus során minden bejárt cella értéke újraszámolódik. A valószínűleg foglalt cellák magas költségértéket kapnak. A többi cella értéke a környező cellák költségének és foglaltsági valószínűségének minimumából adódik. A  $\delta$  tag az út hosszúságát bünteti.

$\forall$  bejárt  $(x, y)$ :

$$V_{x,y} \leftarrow \begin{cases} p(\text{occ}_{x+i,y+j}) & \text{ha } p(\text{occ}_{x+i,y+j}) > 1 - \varepsilon \\ \min_{\substack{i=-1,0,1 \\ j=-1,0,1}} \{V_{x+i,y+j} + p(\text{occ}_{x+i,y+j}) + \delta\} & \text{egyébként} \end{cases}$$

Konvergencia után a  $V$  mátrix a kumulált költségeket tartalmazza.

3. Mivel egy terület felfedezése az egész költségmátrixra kihat, ezért azt folyamatosan újra kellene számolni. Ez azonban jelentősen lassítaná a program működését. Emiatt a mátrix nem csupán lokális, teljes újraszámolása csak bizonyos időközönként következik be.

A felfedezés irányát ezután lényegében a költségmátrix határozza meg. A robot igyekszik a kis környezetében található minimális érték felé mozogni, hisz abban az irányban érdemes nem bejárt cellák után nézni. A kis környezet segítségével az olyan cellák felé történő próbálkozás elkerülhető, amivel a robot nincs közvetlen összeköttetésben.

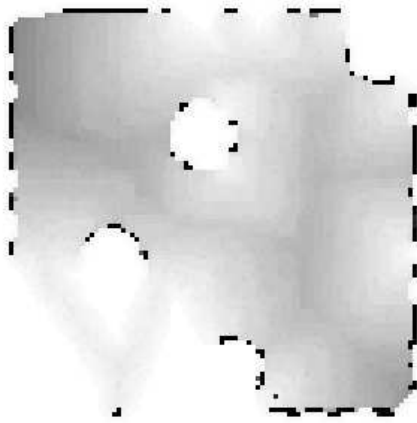
A robot aktuális orientációja szintén szerepet játszik a felfedezés irányának meghatározásában, ezzel biztosítható a folytonos, nem csapongó mozgás. Ezenkívül a környezet akadályait is figyelembe kell venni. Az egymást kiegészítő minimumkeresés és akadálykikerülés együtt egy elfogadható szintű navigációt tesz lehetővé.

A 7. és a 8. ábra a kialakult költségmátrixokat mutatja a bejárás egy adott pontján a 5. és a 6. ábrán bemutatott foglaltsági hálókhoz.

## 5. Eredmények

A kutatás során létrehoztunk egy kétdimenziós foglaltsági hálót, C nyelven, mely további navigációs feladatokra is alkalmazható a Webots szimulációs környezetben. A fent vázolt eljárás többféle kísérleti környezetben is működött, az  $1 \text{ m}^2$ -es nyílt tereppel 8, a  $2,25 \text{ m}^2$ -es labirintussal, valamint az irodaszerű szobával 22, illetve 20 perc alatt végzett átlagosan.

A kísérlet során beigazolódott, hogy a metrikus navigáció eléggé számításigényes, ezért érdemes topológiai módszerrel ötvözni, vagyis a metrikus térkép alapján egy topológikus gráfot építeni, és az útvonaltervezést azon elvégezni.



7. ábra. Nyílt terep költségmátrixa



8. ábra. Labirintus költségmátrixa

A kísérletek egy további tapasztalata, hogy sok szempontból kifizetődő egy szimulátor használata. Nagyon egyszerű új kísérleti környezeteket létrehozni, módosítani a robot felépítését, ideértve szenzorainak számát, elhelyezkedését, modalitását és érzékenységét.

## 6. További lehetőségek

A kutatást több irányba is ki lehet terjeszteni.

- Más navigációs módszerek megvalósítása.
- Pozícióbecslés hibajavításának megvalósítása.
- Metrikus és topologikus navigálás kombinációja, kihasználva a metrikus előállításának egyszerűségét és a topologikus alkalmazásának hatékonyságát.
- Részben vagy teljesen dinamikus objektumok – ajtók, emberek – modellezése.
- Magasszintű feladatok elvégzése a navigációra alapozva.
- Feladatok megoldása a szabad ég alatt.
- Új érzékelők használata.

### Köszönetnyilvánítás

Köszönet illeti témavezetőmet, Kampis Györgyöt támogatásáért és tanácsaiért. Köszönöm Salamon Andrásnak, hogy az anyag összeállítását segítette hasznos megjegyzéseivel.

## Hivatkozások

- [1] R. Szabó. *Mobil robotok szimulációja*. Eötvös Kiadó, 2001.
- [2] S. Thrun. Robotic mapping: A survey. In G. Lakemeyer and B. Nebel, editors, *Exploring Artificial Intelligence in the New Millenium*. Morgan Kaufmann, 2002. to appear.
- [3] J. Borenstein and L. Feng. Correction of systematic odometry errors in mobile robots. In *IEEE International Conference on Robotics and Automation*, volume 12, 1996.
- [4] J. Borenstein, H. R. Everett, L. Feng, and D. Wehe. Mobile robot positioning - sensors and techniques. *Journal of Robotic Systems*, 14(4):231–249, 1997.
- [5] O. Trullier and J.-A. Meyer. Biomimetic navigation models and strategies in animats. *AI Communications*, 10(2):79–92, 1997.
- [6] M. Franz and H. Mallot. Biomimetic robot navigation. *Robotics and Autonomous Systems*, 30:133–153, 2000.
- [7] T. M. Mitchell. *Machine learning*. McGraw Hill, 1997.
- [8] G. Welch and G. Bishop. An introduction to the kalman filter. Technical report, University of North Carolina, Department of Computer Science, Chapel Hill, NC, USA, 2003.
- [9] S. Thrun, W. Burgard, and D. Fox. A probabilistic approach to concurrent mapping and localization for mobile robots. *Machine Learning and Autonomous Robots*, 31(5):1–25, 1998.
- [10] S. Thrun. Probabilistic algorithms in robotics. *AI Magazine*, 21(4):93–109, 2000.
- [11] B. Krieg-Bruckner. A taxonomy of spatial knowledge for navigation and its application to the bremen autonomous wheelchair, 1998.
- [12] H. A. Mallot and M. O. Franz. Biological approaches to spatial representation - a survey. In T. Dean, editor, *Proceedings of the 16th International Joint Conference on Artificial Intelligence (IJCAI-99)*. Morgan Kaufmann, 1999.
- [13] Cyberbotics S.a r.l. *Webots 3.2. User Guide*, 2002.
- [14] R. Szabó. Navigation of simulated mobile robots in the webots environment. *To appear in Periodica Politechnica*, 2002.
- [15] S. Thrun. Learning metric-topological maps for indoor mobile robot navigation. *Artificial Intelligence*, 99(1):21–71, 1998.
- [16] A. Barto R. Sutton. *Reinforcement Learning: An Introduction*. Bradford Book, MIT Press, 1998.